


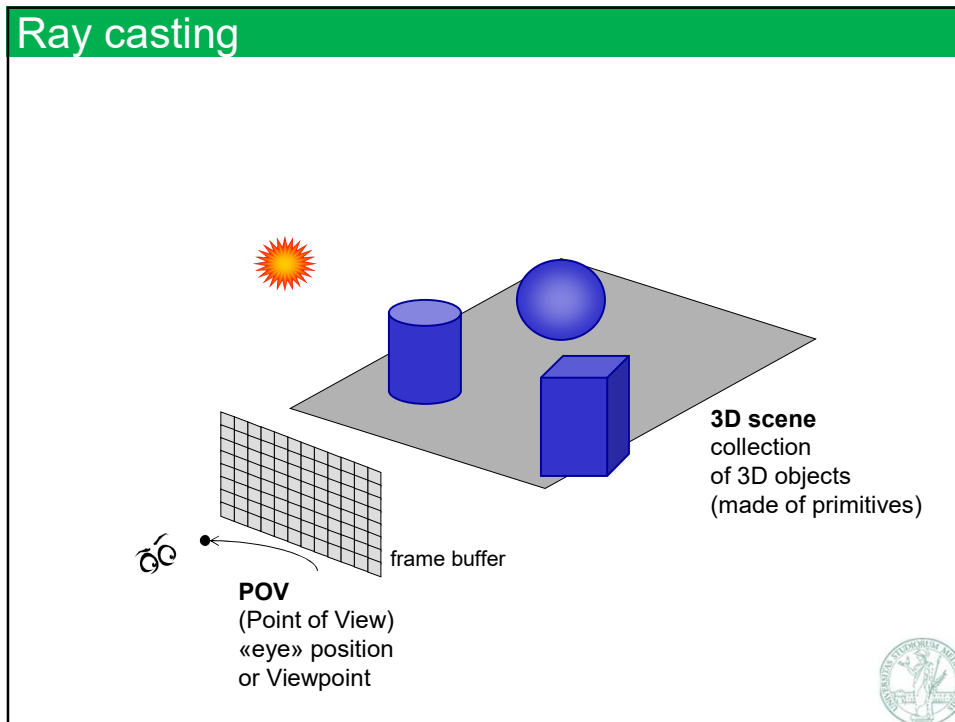
16

Ray-Casting

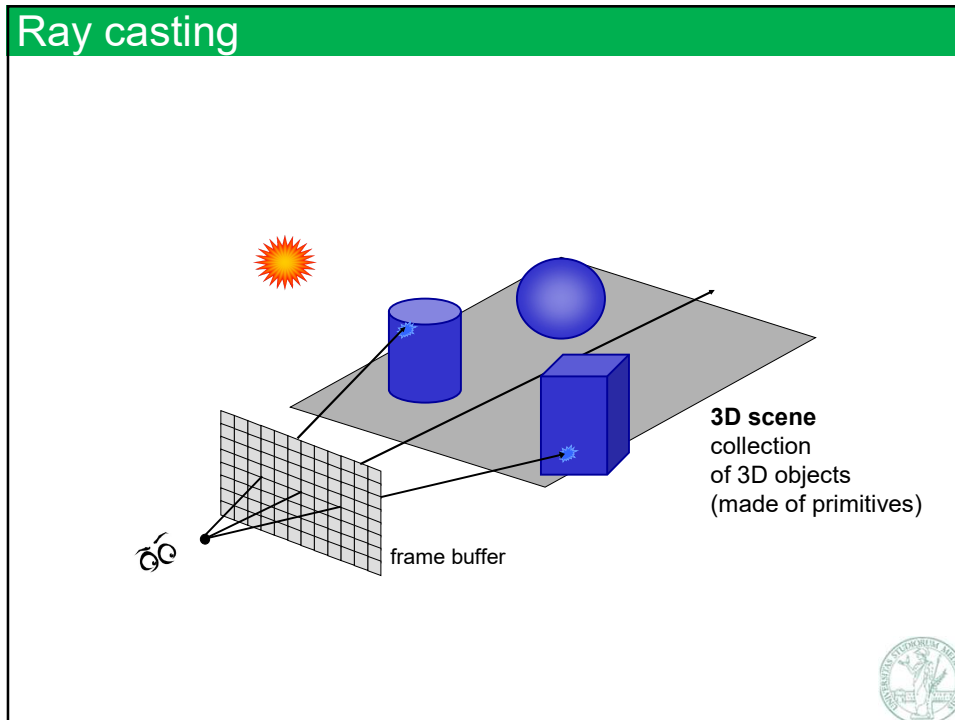
- ✓ Idea: seguire *a ritroso* i fotoni che raggiungono il POV
 - ⇒ per questo, detto anche :*“backward” ray tracing*
- ✓ per ogni pixel sull’immagine da produrre:
 - ⇒ produco un **raggio** che parte dal POV e attraversa quell pixel (detto il **“raggio primario”** di quel pixel)
 - ⇒ trovo le sue intersezioni con gli oggetti della scena
 - ⇒ scelgo l’intersezione più vicina al POV
- ✓ Implementazione:
 - ⇒ Numero di raggi da processare = numero di pixel dell’immagine da produrre
 - ⇒ Per ogni raggio, è necessario computare la sua **intersezione con gli oggetti che costituiscono la scena (cioè le “primitive”)** (questa operazione deve quindi deve essere ottimizzata)



17



18



19

Ray Casting pseudo-code

```
For each pixel  $p$ :  
  make a ray  $r$  (POV to  $p$ )  
  for each primitive  $o$  in scene:  
    find intersect( $r, o$ )  
  keep closest intersection  $o_j$   
  find color of  $o_j$  at  $p$ 
```



20

Primitive di rendering (precisazione)

- ✓ Per “primitiva di rendering” si intende una descrizione di un entità (3D o 2D) che un dato algoritmo di rendering può processare direttamente
 - ⇒ Diversi algoritmi di rendering prevedono diverse primitive
- ✓ Per esempio...
 - ⇒ ...se disponiamo di un algoritmo in grado di processare... triangoli 3D, ma non quadrilateri 3D, (primitiva di rendering = triangolo) allora possiamo renderizzare direttamente una tri-mesh, ma una quad-mesh deve prima essere convertita in una tri-mesh (attraverso diagonal split)
 - ⇒ ...se disponiamo di un algoritmo di rendering in grado di processare campi di altezza, allora non è necessario convertire il campo di altezza in una rappresentazione poligonale
- ✓ Come vedremo, la primitiva prevista dagli algoritmi di rendering più diffusi è il triangolo (ma non è l'unica!)
 - ⇒ A questa considerazione si deve la predominanza delle tri-mesh come modelli 3D



21

Primitive di rendering, nel caso del Ray-casting

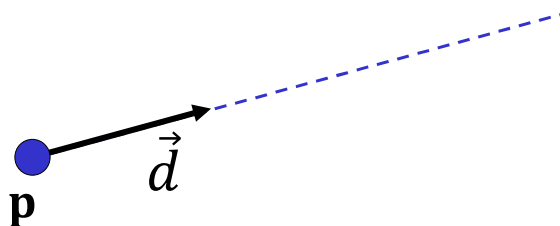
- ✓ Con un algoritmo di Ray-casting possiamo renderizzare qualsiasi cosa per la quale siamo in grado di computare l'intersezione con un raggio
- ✓ Esistono quindi ray-caster per il rendering di :
 - ⇒ Mesh triangolari
(di gran lunga il caso più rilevante, industrialmente)
 - ⇒ Mesh poligonali
 - ⇒ Campi d'altezza
 - ⇒ Modelli impliciti
 - ⇒ Superfici parametriche, come patch di Bezier
 - ⇒ Etc
- ✓ In ciascun caso, è necessario implementare la procedura di intersezione raggio-oggetto
 - ⇒ Vediamo alcuni casi per semplici modelli impliciti



22

Rappresentazione di un «raggio»

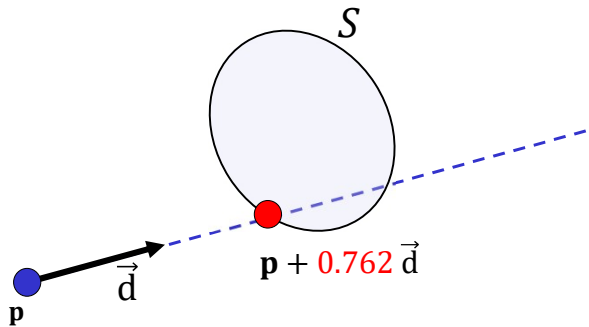
- ✓ Un raggio = una semiretta (nota, in inglese: «ray» non «radius»)
- ✓ Rappresentabile come
 - ⇒ Un dato punto \mathbf{p} di partenza del raggio
 - ⇒ Un dato vettore \vec{d} direzione (unitario o no, è una scelta implementativa)
- ✓ Il raggio è dato da tutti i punti esprimibili come $\mathbf{p} + k \vec{d}$
 - ⇒ con k scalare non-negativo, $k \geq 0$
(perché il raggio è una **semi**-retta)
 - ⇒ cioè «i punti raggiungibili a partire da \mathbf{p} facendo k passi in direzione \vec{d} »




24

Intersezione raggio – primitiva

✓ Trovare l'intersezione con una data superficie S significa trovare uno scalare k tale che $\mathbf{p} + k\vec{\mathbf{d}}$ stia su S

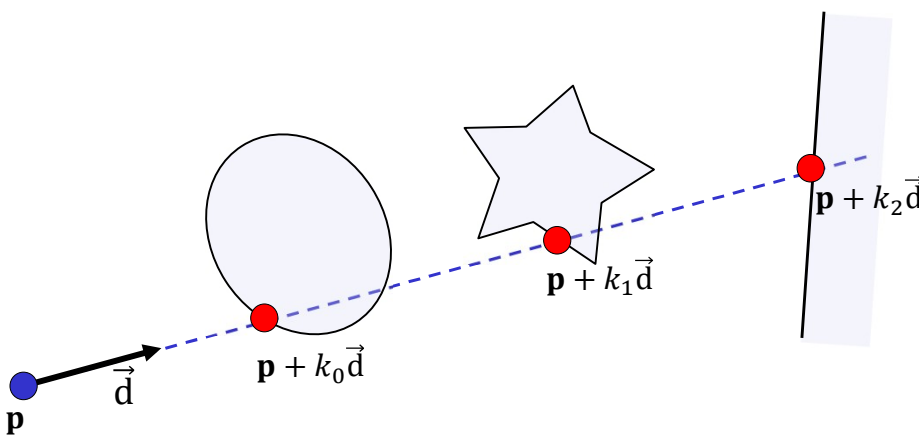


The diagram illustrates a ray starting at point \mathbf{p} (blue dot) and traveling in direction $\vec{\mathbf{d}}$ (black arrow). A dashed blue line represents the ray's path. It intersects a light blue oval-shaped surface S at a red dot labeled $\mathbf{p} + 0.762 \vec{\mathbf{d}}$.




25

Intersezione raggio-scena (cioè tante primitive)



The diagram shows a ray starting at point \mathbf{p} (blue dot) and traveling in direction $\vec{\mathbf{d}}$ (black arrow). The ray passes through three different primitives: a light blue oval, a light blue star, and a light blue rectangle. The intersection points are marked with red dots and labeled $\mathbf{p} + k_0 \vec{\mathbf{d}}$, $\mathbf{p} + k_1 \vec{\mathbf{d}}$, and $\mathbf{p} + k_2 \vec{\mathbf{d}}$ respectively.

Basta prendere la primitiva che interseca col k **minore** fra $k_{0,1,2}$


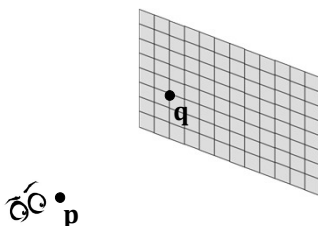


26

Costruzione del raggio primario

- ✓ Dato un pixel Q, quale è il suo raggio primario?
- ✓ Risposta:
 - ⇒ \mathbf{p} (punto di partenza del raggio): il POV
 - ⇒ $\vec{\mathbf{d}}$ (direzione del raggio): $(\mathbf{q} - \mathbf{p})$
(eventualmente, normalizzato, cioè scalato di $\frac{1}{\|\mathbf{q} - \mathbf{p}\|}$)

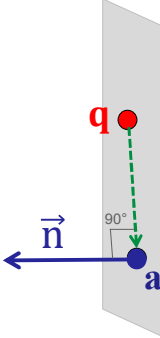
dove \mathbf{q} è la posizione 3D del pixel Q sul piano immagine




30

Esempio: Intersezione Raggio – Piano 1/3

- ✓ piano definito da: un punto su di esso \mathbf{a} e il suo vettore normale $\vec{\mathbf{n}}$ (l'orientamento del piano)
- ✓ punti su piano: cioè tutti i punti \mathbf{q} tali che il vettore $(\mathbf{a} - \mathbf{q})$ è ortogonale ad $\vec{\mathbf{n}}$, cioè $(\mathbf{a} - \mathbf{q}) \cdot \vec{\mathbf{n}} = 0$
- ✓ intersecare il piano con un raggio dato $(\mathbf{p}, \vec{\mathbf{d}}) =$ trovare un k (se \exists) t.c. $(\mathbf{p} + k\vec{\mathbf{d}})$ sia un punto sul piano

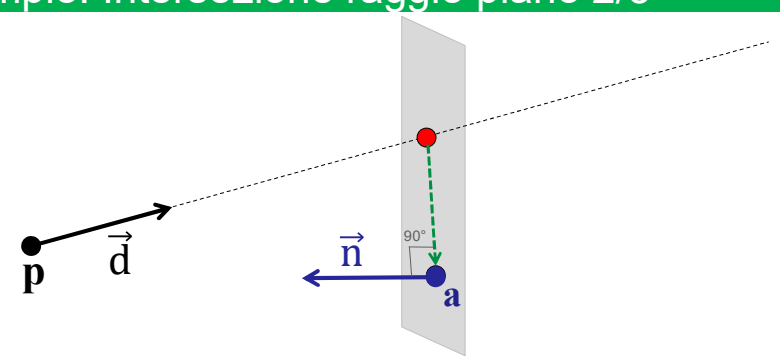


Piano passante per il punto \mathbf{a} e avente normale $\vec{\mathbf{n}}$



32

Esempio: Intersezione raggio piano 2/3




intersecare raggio con sfera = trovare un $k \geq 0$ (se \exists)
 tale che

$$\underbrace{(\mathbf{a} - (\mathbf{p} + k\vec{\mathbf{d}}))}_{\text{Il vettore verde}} \cdot \vec{\mathbf{n}} = 0$$

Il punto rosso

perché so che il vettore verde deve essere ortogonale ad $\vec{\mathbf{n}}$



33


Esempio: Intersezione raggio piano 3/3

Trovo k (che è l'unica incognita) manipolando l'equazione

$$\begin{aligned} (\mathbf{a} - (\mathbf{p} + k\vec{\mathbf{d}})) \cdot \vec{\mathbf{n}} &= 0 \\ \Leftrightarrow ((\mathbf{a} - \mathbf{p}) - k\vec{\mathbf{d}}) \cdot \vec{\mathbf{n}} &= 0 \\ \Leftrightarrow (\mathbf{a} - \mathbf{p}) \cdot \vec{\mathbf{n}} - k(\vec{\mathbf{d}} \cdot \vec{\mathbf{n}}) &= 0 \\ \Leftrightarrow k &= \frac{(\mathbf{a} - \mathbf{p}) \cdot \vec{\mathbf{n}}}{\vec{\mathbf{d}} \cdot \vec{\mathbf{n}}} \end{aligned}$$

Se $\vec{\mathbf{d}} \cdot \hat{\mathbf{n}} = 0$, div per zero. Ma se è così, allora il raggio è ortogonale a $\hat{\mathbf{n}}$ cioè corre parallelo al piano: no intersez.

Se $k > 0$, allora il raggio interseca il piano, e l'intersezione è alla posizione $\mathbf{a} + k\vec{\mathbf{d}}$
 altrimenti, il raggio non interseca il piano



34

Esempio: Intersezione raggio sfera 1/3

supponiamolo unitario:
 $\vec{d} \cdot \vec{d} = 1$

Sfera (come superficie implicita):
 $f(\mathbf{q}) = 0$ con $f(\mathbf{q}) = \|\mathbf{q} - \mathbf{c}\|^2 - r^2$

Intersecare raggio con sfera = trovare un $k \geq 0$ (se \exists) t.c
 $f(\mathbf{p} + k\vec{d}) = 0$

35

Esempio: Intersezione raggio sfera 2/3

$$f(\mathbf{p} + k\vec{d}) = 0$$

$$\Leftrightarrow \|\mathbf{p} + k\vec{d} - \mathbf{c}\|^2 - r^2 = 0$$

$$\Leftrightarrow \|(\mathbf{p} - \mathbf{c}) + k\vec{d}\|^2 - r^2 = 0$$

$$\Leftrightarrow ((\mathbf{p} - \mathbf{c}) + k\vec{d}) \cdot ((\mathbf{p} - \mathbf{c}) + k\vec{d}) - r^2 = 0$$

$$\Leftrightarrow k^2 \|\vec{d}\|^2 + k 2(\mathbf{p} - \mathbf{c}) \cdot \vec{d} + \|\mathbf{p} - \mathbf{c}\|^2 - r^2 = 0$$

a
 b
 c

Equazione 2° grado in k . Prendo la soluzione minore delle 2.
 Se è > 0 allora abbiamo trovato k e quindi anche il punto di intersezione


36

Esempio: Intersezione raggio sfera 3/3

\mathbf{p} $\vec{\mathbf{d}}$ $\mathbf{p} + k_B \vec{\mathbf{d}}$ soluzione minore $\mathbf{p} + k_A \vec{\mathbf{d}}$ soluzione maggiore

$$k_{A,B} = \frac{-b \pm \sqrt{b^2 - 4ac}}{2a}$$


devo ovviamente considerare la soluzione minore
(quella scegliendo il segno meno nel \pm)



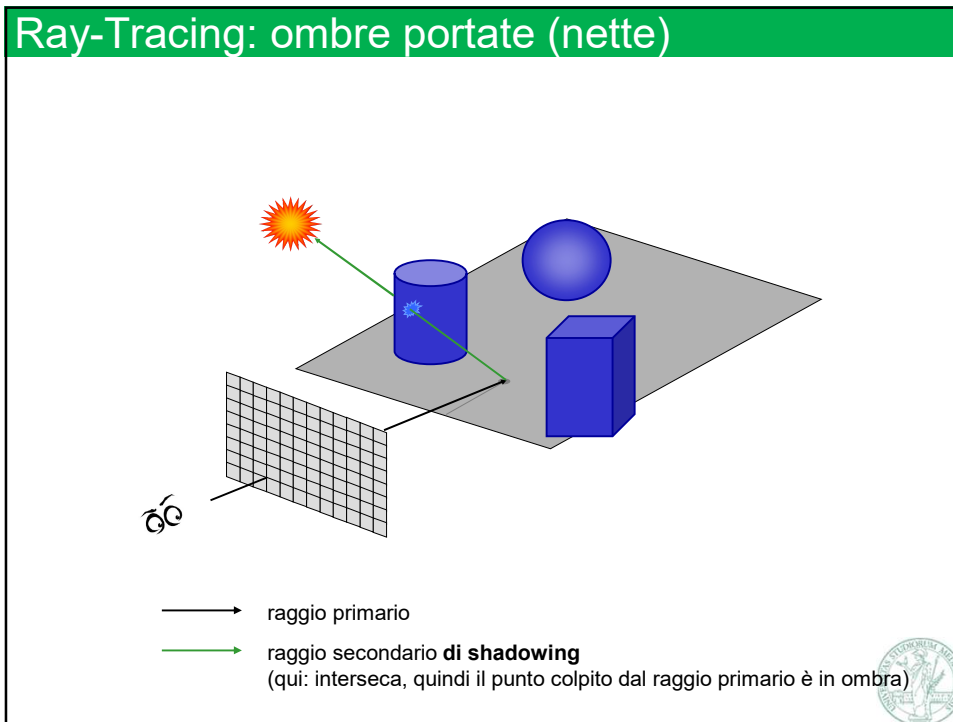
37

Ray Tracing (classe di algoritmi)

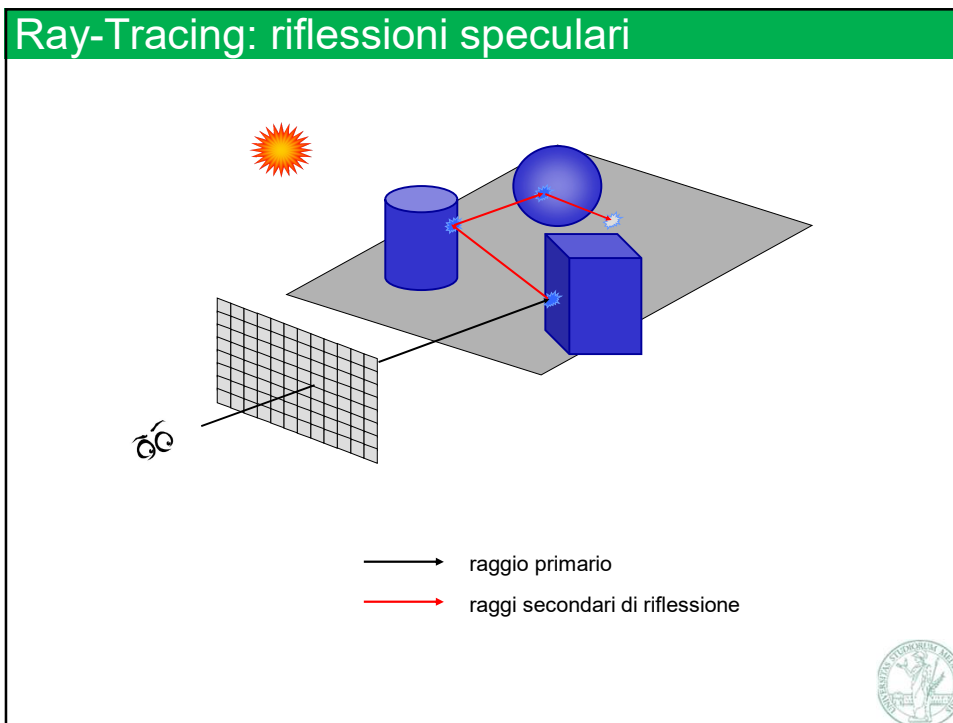
- ✓ Seguendo la stessa idea per un altro passo...
- ✓ **Tracciamo** a ritroso il percorso dei fotoni
 - ⇒ non solo dal POV ad un punto su un oggetto 3D,
 - ⇒ ma dall'oggetto 3D all'emettitore della luce che ha emesso quel fotone
- ✓ Questo richiede di computare le intersezioni su un ulteriore raggio
 - ⇒ Detto di shadowing
 - ⇒ E' un esempio di raggio «secondario» (ne vedremo altri)
 - ⇒ Nota: è la *stessa* procedura, «intersezione raggio-primitiva», eseguita più volte per uno stesso pixel.
- ✓ Algoritmi basati su tracciamento di raggi sono detti di Ray-Tracing (compreso il semplice ray-casting)



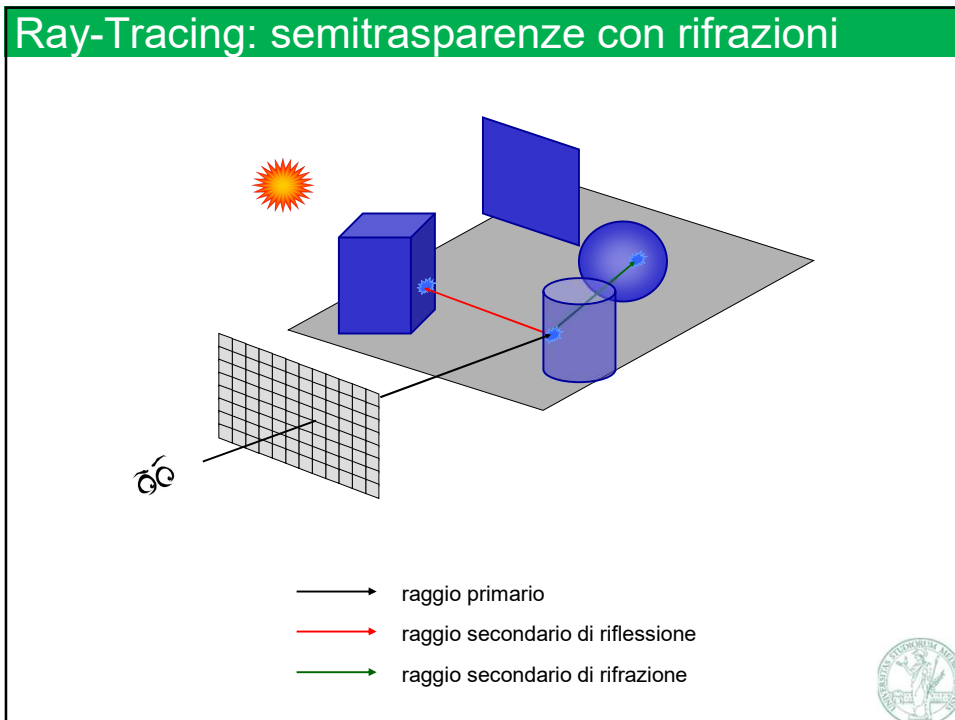
38



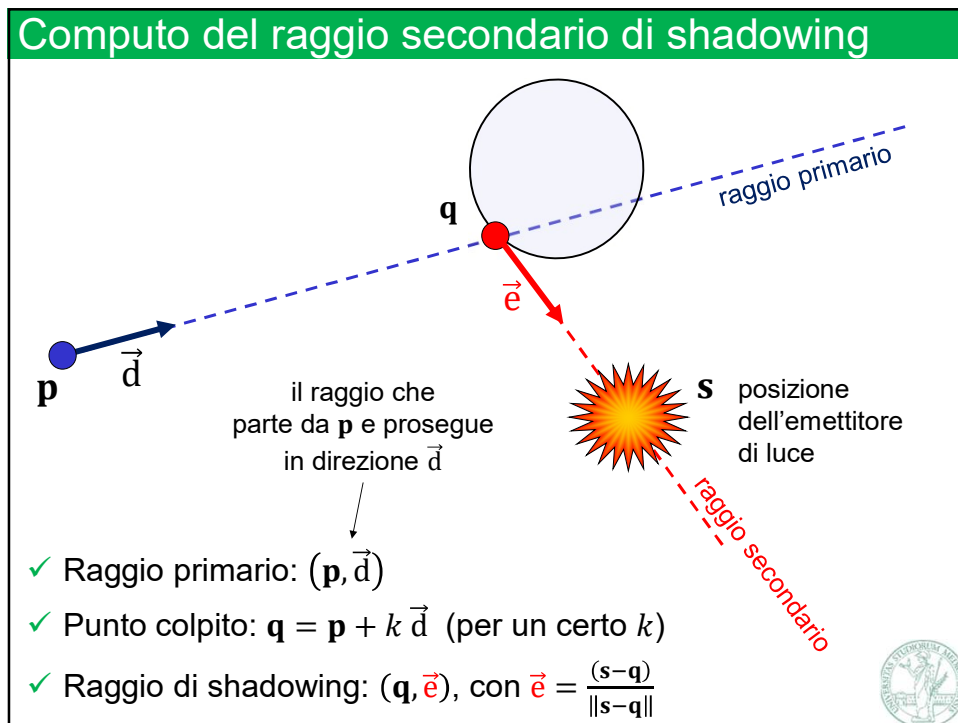
39



40



41



42

Computo del raggio secondario di riflessione

- ✓ Raggio primario: $(\mathbf{p}, \vec{\mathbf{d}})$
- ✓ Punto colpito: $\mathbf{q} = \mathbf{p} + k \vec{\mathbf{d}}$ (per un certo k)
- ✓ Raggio di riflessione: $(\mathbf{q}, \vec{\mathbf{d}}_R)$,
dove $\vec{\mathbf{d}}_R$ è il vettore $\vec{\mathbf{d}}$ riflesso da un piano di normale $\hat{\mathbf{n}}$
- ✓ Vediamo come calcolarlo (semplice "ottica meccanica")

Normale della superficie in \mathbf{q}

43

Calcolo della direzione riflessa $\vec{\mathbf{d}}_R$ (1/2)

Dal disegno si capisce che...

(1) Il vettore $\vec{\mathbf{d}} + \vec{\mathbf{d}}_R$ è ortogonale ad $\hat{\mathbf{n}}$
 Cioè:

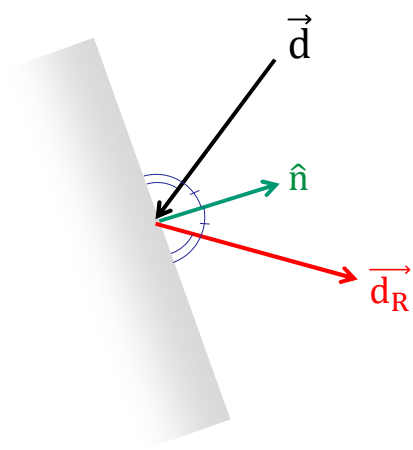
$$(\vec{\mathbf{d}} + \vec{\mathbf{d}}_R) \cdot \hat{\mathbf{n}} = 0$$

(2) Il vettore $\vec{\mathbf{d}}_R$ è ottenibile sommando a $\vec{\mathbf{d}}$ un vettore allineato ad $\hat{\mathbf{n}}$
 Cioè:

$$\vec{\mathbf{d}}_R = \vec{\mathbf{d}} + h \hat{\mathbf{n}}$$
 (per un dato scalare h , da trovare)

45


Calcolo della direzione riflessa \vec{d}_R (2/2)



Sostituedo, trovo

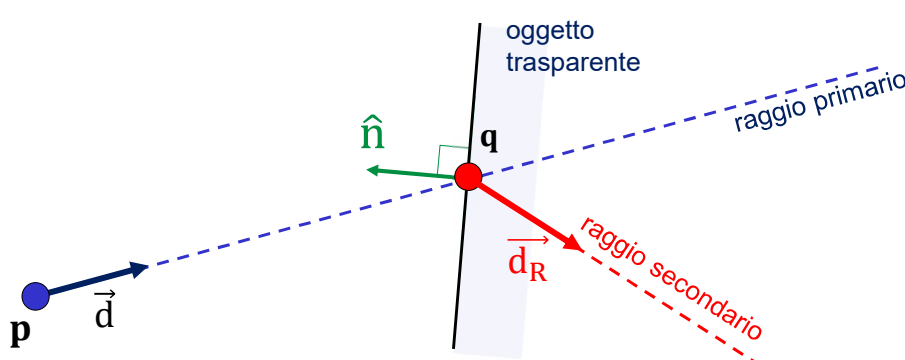
$$\vec{d}_R = \vec{d} + h \hat{n}$$

con $h = -2 \vec{d} \cdot \hat{n}$



46

Computo del raggio secondario di rifrazione




✓ Raggio primario: (\mathbf{p}, \vec{d})

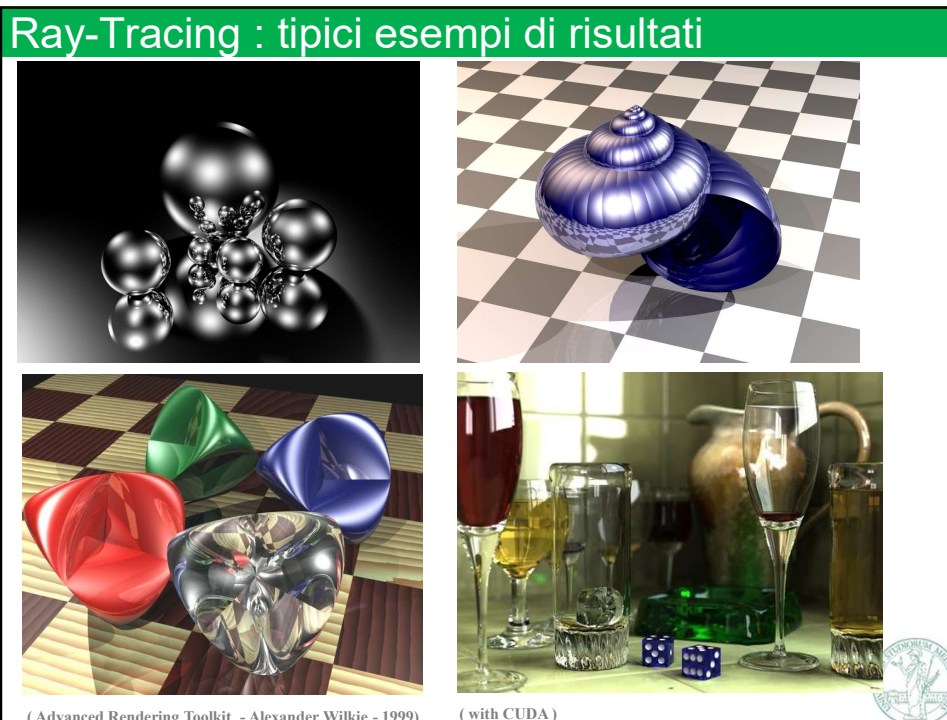
✓ Punto colpito: $\mathbf{q} = \mathbf{p} + k \vec{d}$ (per un certo k)

✓ Raggio di rifrazione: (\mathbf{q}, \vec{d}_F) ,
con \vec{d}_F il vettore \vec{d} rifratto da un piano di normale \hat{n}

Una formula di meccanica ottica, (che non vediamo) descrive come trovare la direzione rifratta \vec{d}_F dato l'«indice di rifrazione» del materiale



47



52

Algoritmi di Ray-tracing: efficienza

- ✓ Un'implementazione **triviale** per
 - ⇒ una scena con M «primitive»
 - ⇒ immagini $N \times N$ pixel
 - ⇒ con K raggi per pixel (1 primario e $K-1$ secondari)richiede ben $N^2 M K$ intersezioni raggio-primitiva!
 - ⇒ È un numero troppo elevato
 - ⇒ Complessità temporale dell'algoritmo: $O(N^2 M K)$
 - ⇒ Per questo motivo, questo tipo di algoritmi è usato soprattutto per il **rendering offline**
- ✓ Sono possibili però molte ottimizzazioni...
 - ⇒ per testare solo un sottoinsieme delle primitive
 - ⇒ **Implementazioni parallelizzate** attraverso GPU (infatti ogni pixel può essere computato indipendentemente dagli altri: elevato livello di **parallelismo implicito**)

53

Esempio di RayTracing su GPU (qui: con CUDA)



54

Ray tracing: alcune varianti

✓ Molti algoritmi e varianti si basano su principi simili.

✓ Alcuni di questi:

⇒ Ray-casting:

- un solo raggio (primario) viene "mandato" (*cast*) per pixel

⇒ Ray-tracing:

- Ogni raggio viene "tracciato" (*traced*) attraverso vari fenomeni successivi riflessione o rifrazione, attraverso raggi secondari
- Nota: in ordine inverso rispetto alla realtà, come al solito
- (è anche il usato come nome della classe generale di questi algoritmi)

⇒ Path-tracing:

- Per ogni pixel, lanciare molti raggi, che seguono i path pseudo-casuali ("monte carlo sampling") con una distribuzione che riflette quella reale
- Mediare i risultati per ottenere il pixel finale
- Più raggi vengono mandati, maggiore il realismo

⇒ Ray-marching:

- Una classe di algoritmi per accelerare l'intersezione raggio-primitiva
- Principio: raggio viene spezzato in una serie di passi (segmenti) successivi, per ciascuno dei quali si devono testare solo le primitive a lui vicine (invece di tutte)

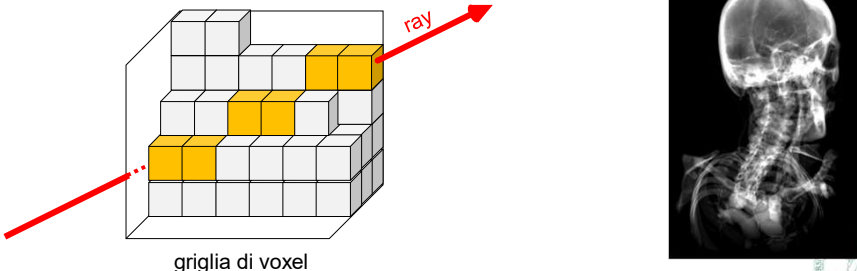
Nota:
questa
terminologia
può variare
leggermente
da una fonte
all'altra



55

Esempi: Ray tracing su alcuni tipi di modelli visti

- ✓ Raytracing di volume di voxel:
(con ciascun voxel = valore di densità)
 - ⇒ È una forma comune di **direct volume rendering**
 - ⇒ Per ogni raggio primario, identifico i voxel attraversati
 - ⇒ Assegno il pixel corrispondente ad una funzione di tutti i valori di intensità dei voxel attraversati
 - ⇒ per esempio, banalmente, il tono di grigio corrispondente al valore max

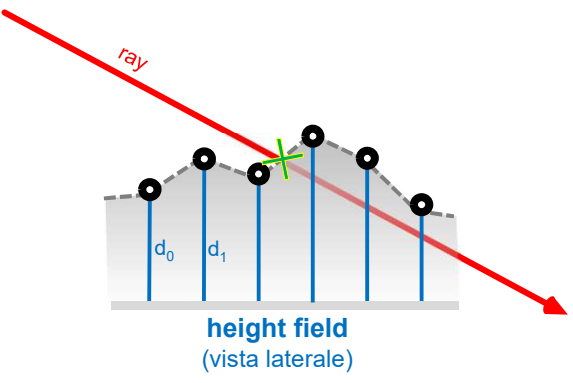


The diagram on the left shows a 3D grid of voxels. A red arrow labeled 'ray' enters from the bottom left and passes through several yellow-highlighted voxels. Below the grid is the text 'griglia di voxel'. To the right is a grayscale X-ray image of a human skull and neck, showing the internal structure. A small circular logo is visible in the bottom right corner of the slide.

56

Esempi: Ray tracing su alcuni tipi di modelli visti

- ✓ Raytracing di Campi di Altezza (schema)
 - ⇒ Tracciare il raggio sulla griglia 2D di altezze x, y
 - ⇒ Trovare la prima posizione in cui la z del raggio cade sotto l'Altezza a coordinate $[x][y]$



The diagram shows a 2D height field represented by a series of vertical blue bars of varying heights. A red arrow labeled 'ray' descends from the top left towards the field. A green 'X' marks the intersection point where the ray hits the top surface of one of the bars. Below the bars are labels d_0 and d_1 . The text 'height field (vista laterale)' is centered below the diagram. A small circular logo is visible in the bottom right corner of the slide.

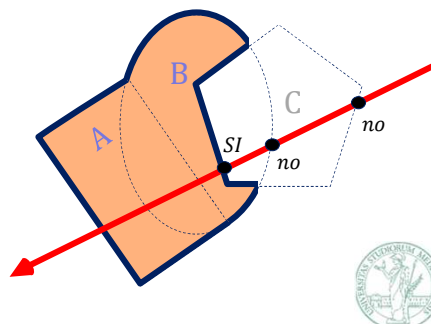
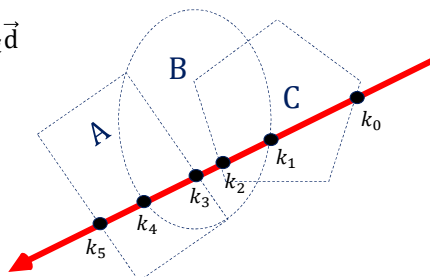
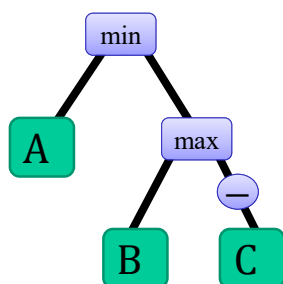
57

Esempi: Ray tracing su alcuni tipi di modelli visti

✓ Raytracing di CSM (schema):

- ⇒ Trovare *tutte* le intersezioni $\mathbf{p} + k_i \vec{d}$ con *tutte* le foglie della funz F
- ⇒ Ordinarle per k_i
- ⇒ Trovare la prima intersezione in cui $F(\mathbf{p} + k_i \vec{d}) = 0$
- ⇒ Esempio con:

$$F = \min(A, \max(B, -C))$$

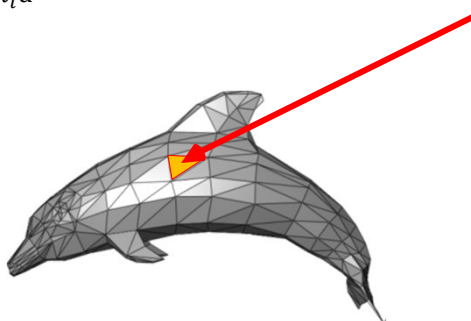


58

Esempi: Ray tracing su alcuni tipi di modelli visti

✓ Raytracing di tri-mesh

- ⇒ Per ogni triangolo: trovare l'intersezione $\mathbf{p} + k_i \vec{d}$ raggio-triangolo, se esiste (come implementare questo calcolo?)
- ⇒ Prendere l'intersezione con il k_i minore



E' una soluzione molto generale, perché è sempre possibile tradurre i nostri modelli 3D in una mesh.
 Ma: può essere una soluzione molto onerosa, (molte primitive sono necessarie per approssimare la forma), e la discretizzazione introduce errori

59